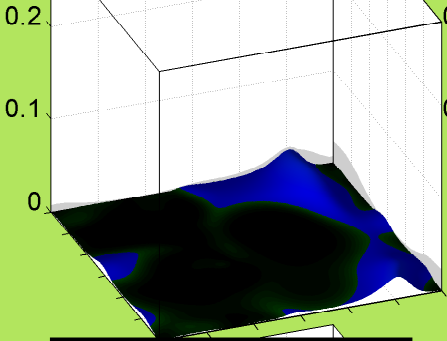
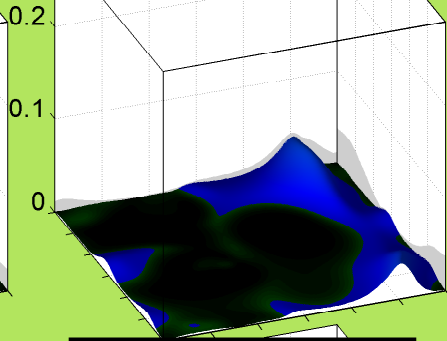


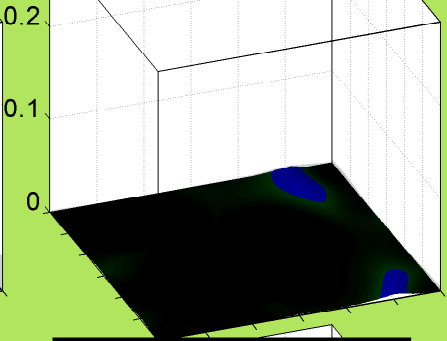
ARG: $P(r=<g^+, g^+, g^+, g^+>|\phi, \psi), 0.03\%$



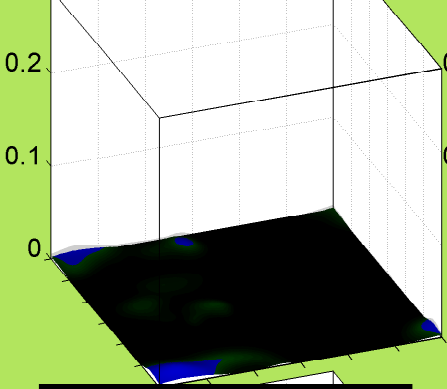
ARG: $P(r=<g^+, g^+, g^+, t>|\phi, \psi), 0.05\%$



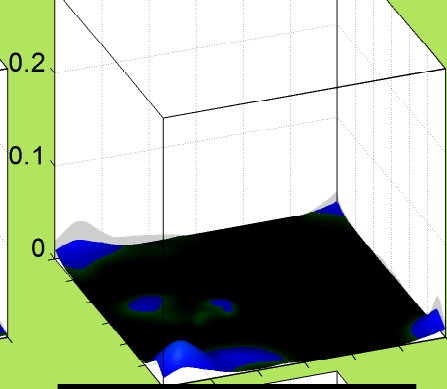
ARG: $P(r=<g^+, g^+, g^+, g^->|\phi, \psi), 0.01\%$



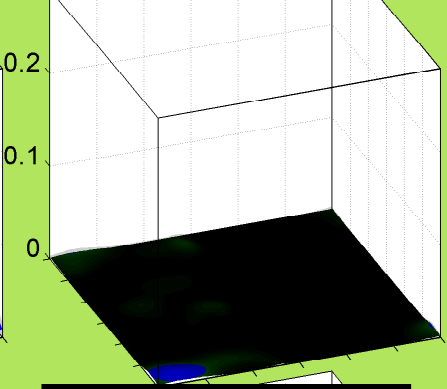
ARG: $P(r=<g^+, g^+, t, g^+>|\phi, \psi), 0.06\%$



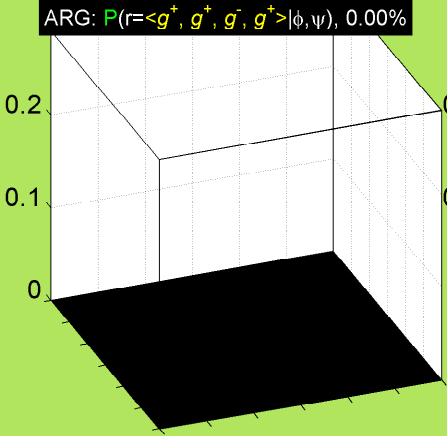
ARG: $P(r=<g^+, g^+, t, t>|\phi, \psi), 0.13\%$



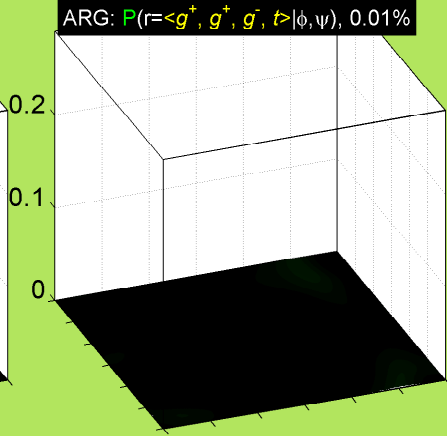
ARG: $P(r=<g^+, g^+, t, g^->|\phi, \psi), 0.04\%$



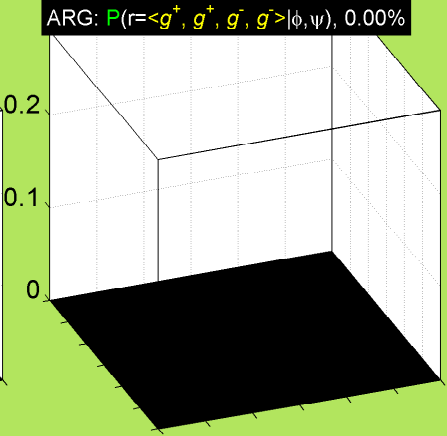
ARG: $P(r=<g^+, g^+, g^-, g^+>|\phi, \psi), 0.00\%$



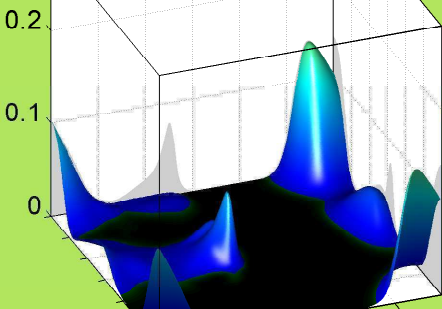
ARG: $P(r=<g^+, g^+, g^-, t>|\phi, \psi), 0.01\%$



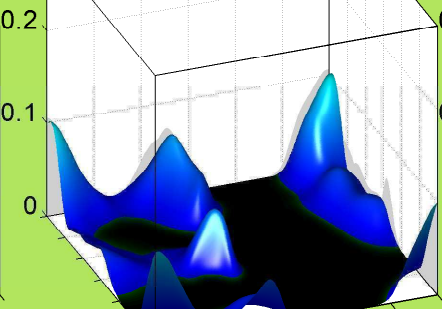
ARG: $P(r=<g^+, g^+, g^-, g^->|\phi, \psi), 0.00\%$



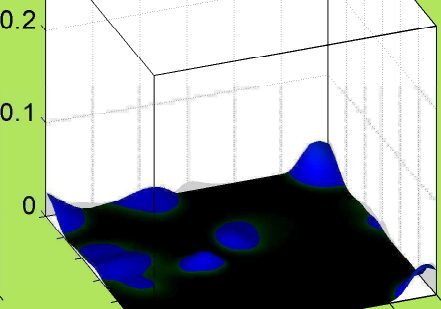
ARG: $P(r=<g^+, t, g^+, g^+>|\phi, \psi), 0.55\%$



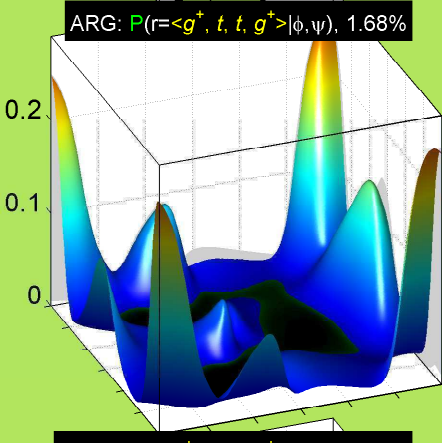
ARG: $P(r=<g^+, t, g^+, t>|\phi, \psi), 0.99\%$



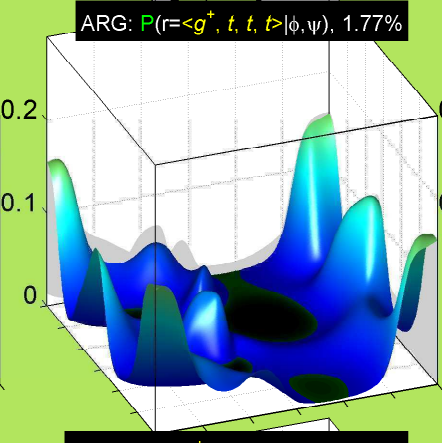
ARG: $P(r=<g^+, t, g^+, g^->|\phi, \psi), 0.18\%$



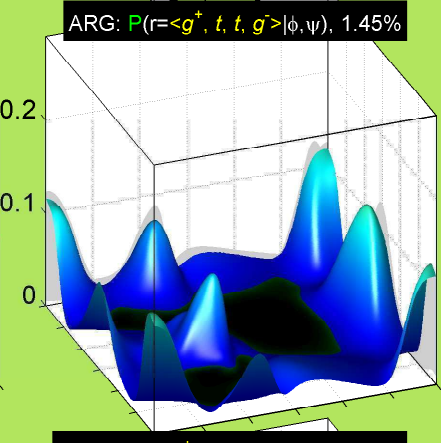
ARG: $P(r=<g^+, t, t, g^+>|\phi, \psi), 1.68\%$



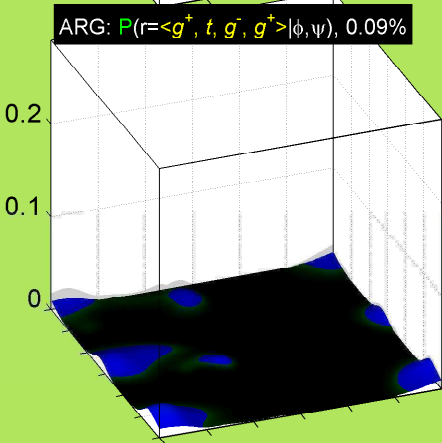
ARG: $P(r=<g^+, t, t, t>|\phi, \psi), 1.77\%$



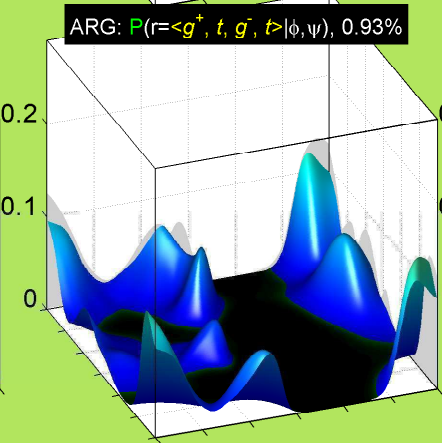
ARG: $P(r=<g^+, t, t, g^->|\phi, \psi), 1.45\%$



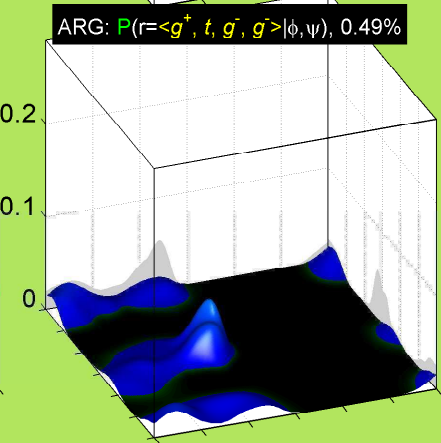
ARG: $P(r=<g^+, t, g^-, g^+>|\phi, \psi), 0.09\%$



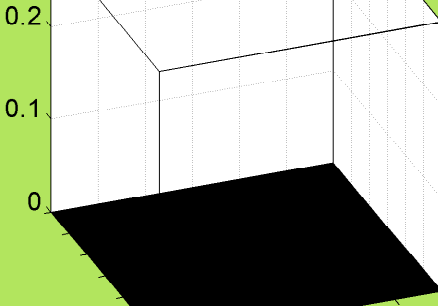
ARG: $P(r=<g^+, t, g^-, t>|\phi, \psi), 0.93\%$



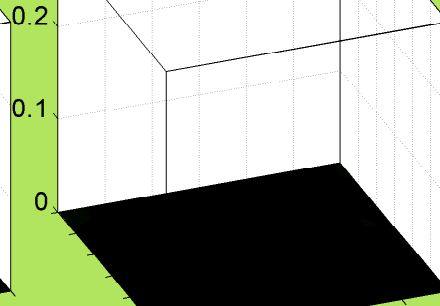
ARG: $P(r=<g^+, t, g^-, g^->|\phi, \psi), 0.49\%$



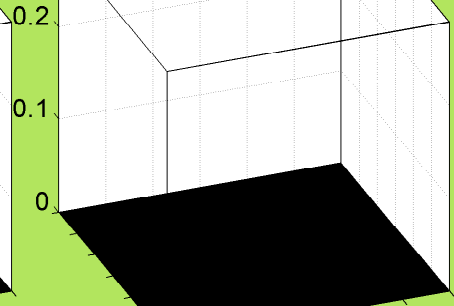
ARG: $P(r=<g^+, g^-, g^+, g^+>|\phi, \psi), 0.00\%$



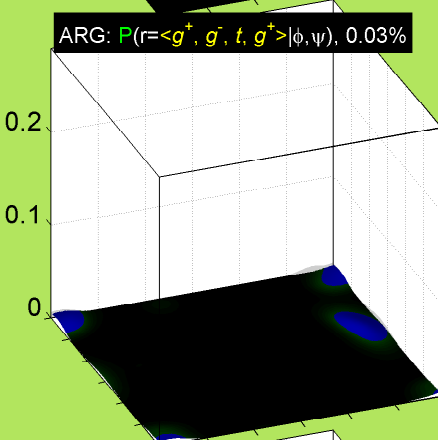
ARG: $P(r=<g^+, g^-, g^+, t>|\phi, \psi), 0.00\%$



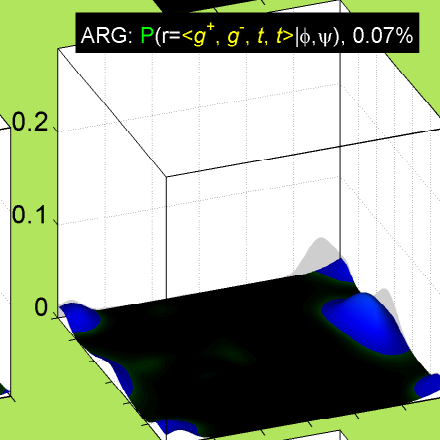
ARG: $P(r=<g^+, g^-, g^+, g^->|\phi, \psi), 0.00\%$



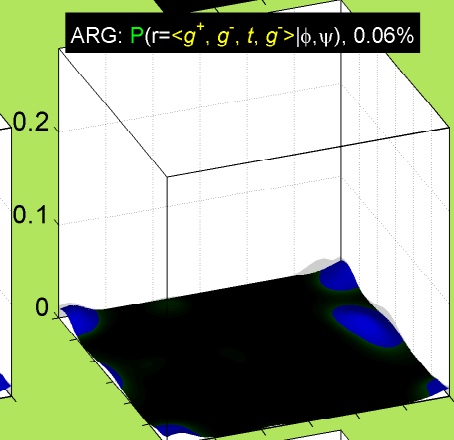
ARG: $P(r=<g^+, g^-, t, g^+>|\phi, \psi), 0.03\%$



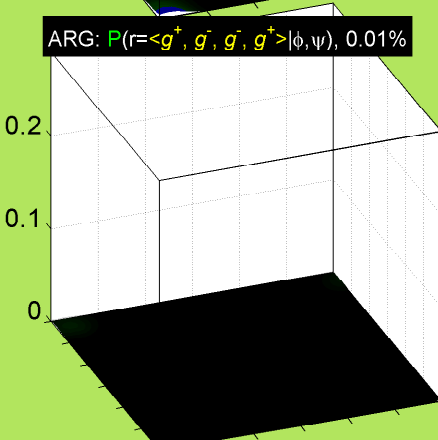
ARG: $P(r=<g^+, g^-, t, t>|\phi, \psi), 0.07\%$



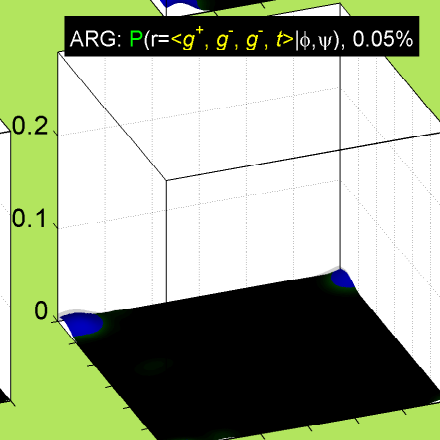
ARG: $P(r=<g^+, g^-, t, g^->|\phi, \psi), 0.06\%$



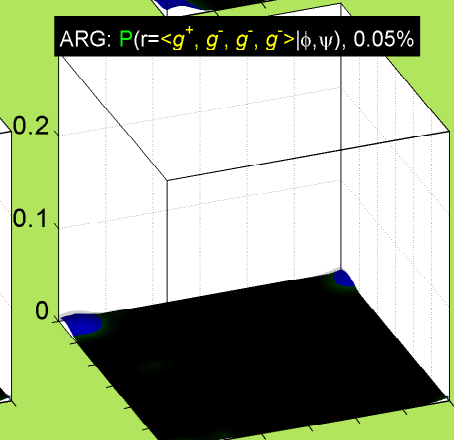
ARG: $P(r=<g^+, g^-, g^-, g^+>|\phi, \psi), 0.01\%$



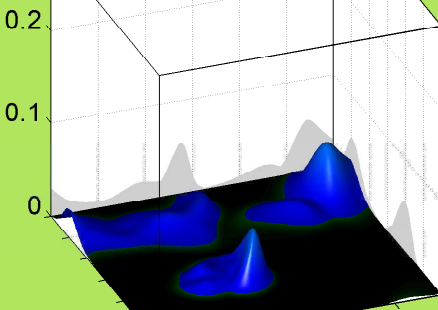
ARG: $P(r=<g^+, g^-, g^-, t>|\phi, \psi), 0.05\%$



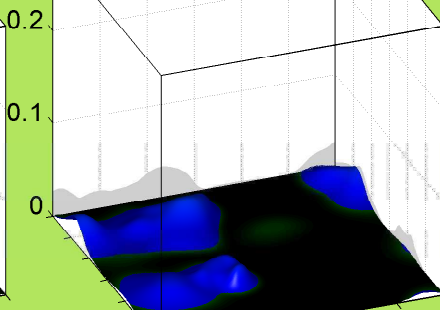
ARG: $P(r=<g^+, g^-, g^-, g^->|\phi, \psi), 0.05\%$



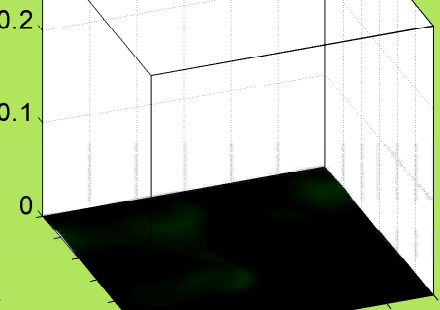
ARG: $P(r=< t, g^+, g^+, g^+> | \phi, \psi), 0.76\%$



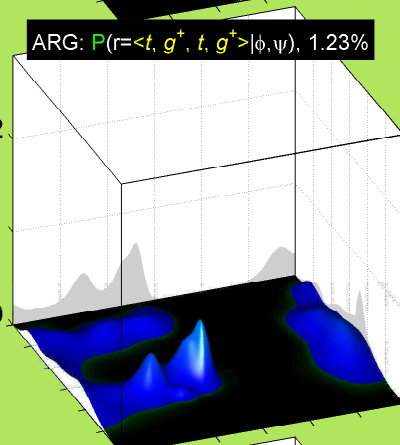
ARG: $P(r=< t, g^+, g^+, t, g^+> | \phi, \psi), 1.05\%$



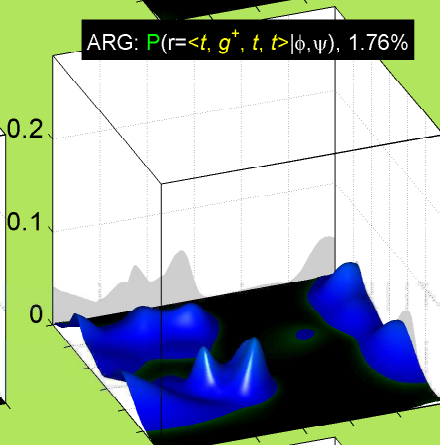
ARG: $P(r=< t, g^+, g^+, g^-> | \phi, \psi), 0.07\%$



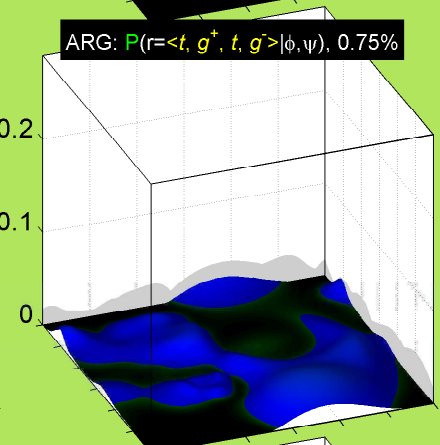
ARG: $P(r=< t, g^+, t, g^+> | \phi, \psi), 1.23\%$



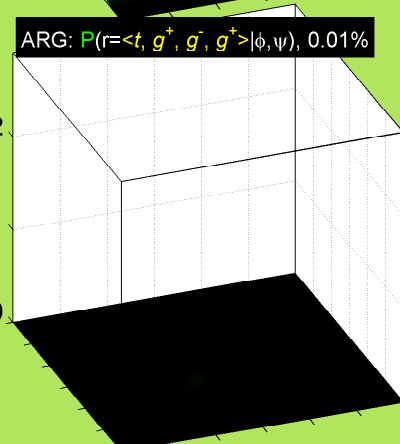
ARG: $P(r=< t, g^+, t, t, g^+> | \phi, \psi), 1.76\%$



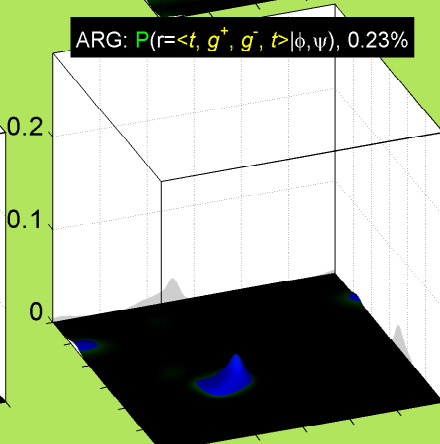
ARG: $P(r=< t, g^+, t, g^-> | \phi, \psi), 0.75\%$



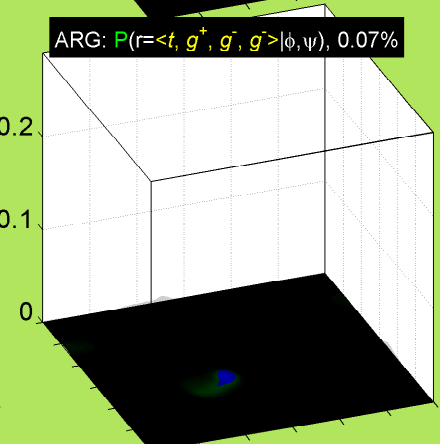
ARG: $P(r=< t, g^+, g^-, g^+> | \phi, \psi), 0.01\%$

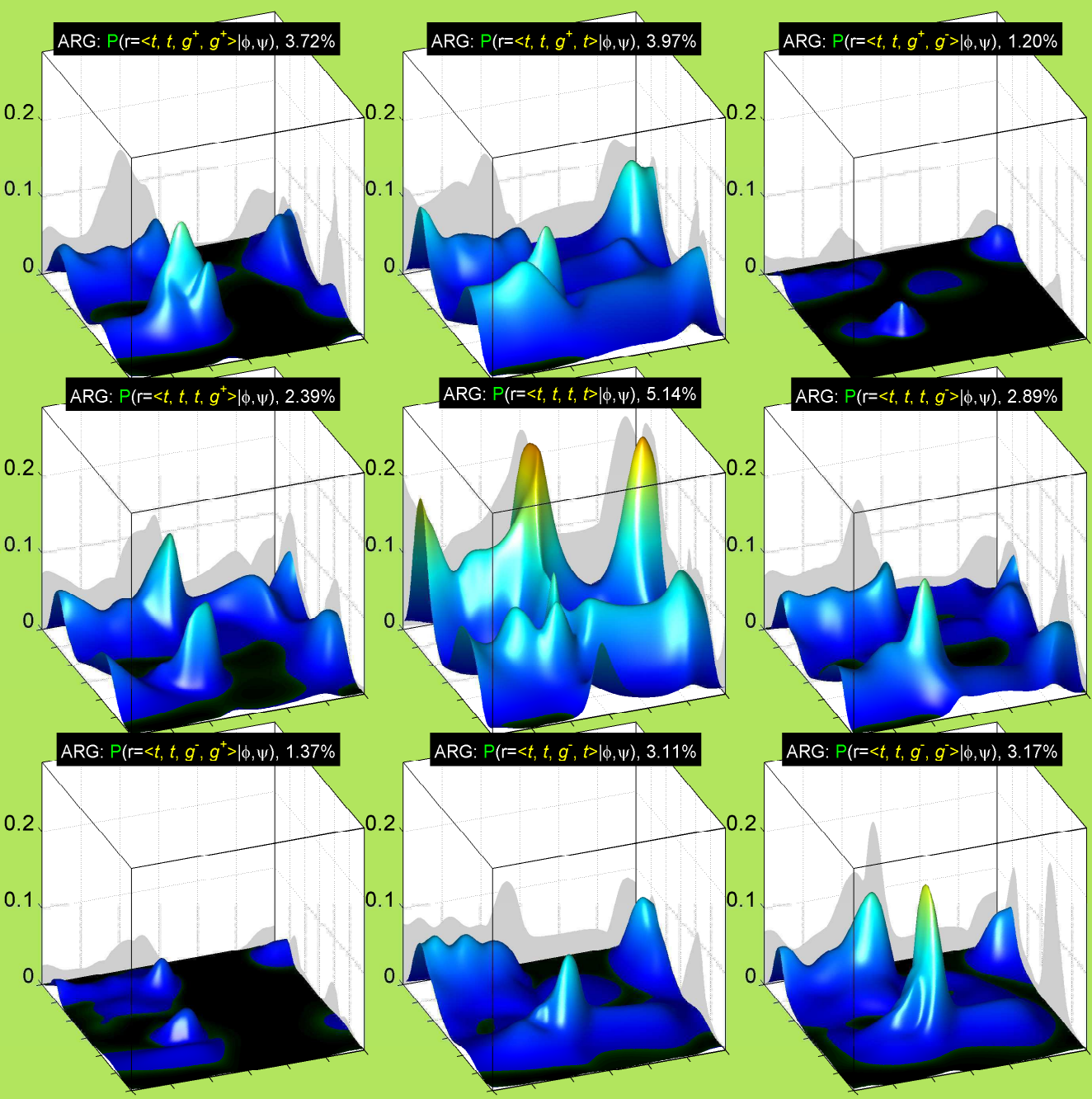


ARG: $P(r=< t, g^+, g^-, t, g^+> | \phi, \psi), 0.23\%$

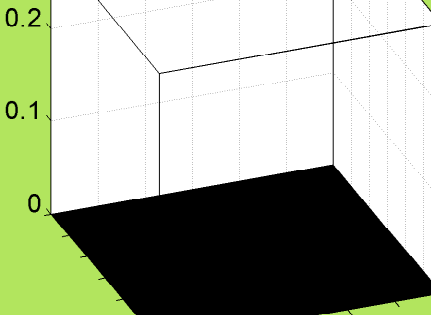


ARG: $P(r=< t, g^+, g^-, g^-> | \phi, \psi), 0.07\%$

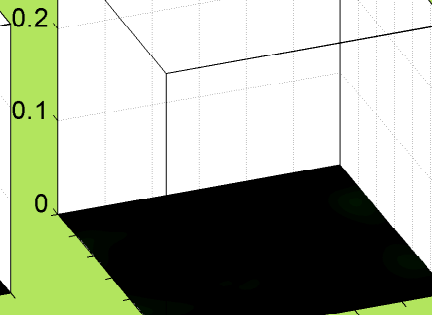




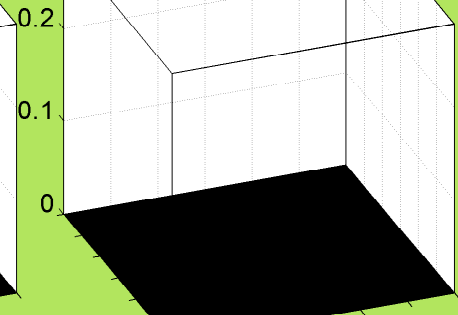
ARG: $P(r=< t, g^-, g^+, g^+ > | \phi, \psi), 0.00\%$



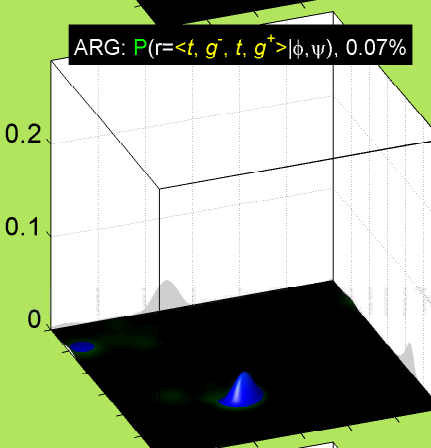
ARG: $P(r=< t, g^-, g^+, t, g^+ > | \phi, \psi), 0.01\%$



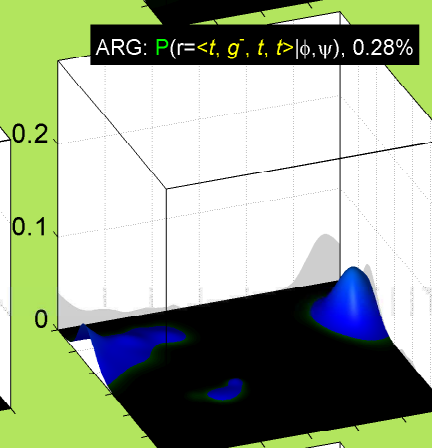
ARG: $P(r=< t, g^-, g^+, g^+ > | \phi, \psi), 0.00\%$



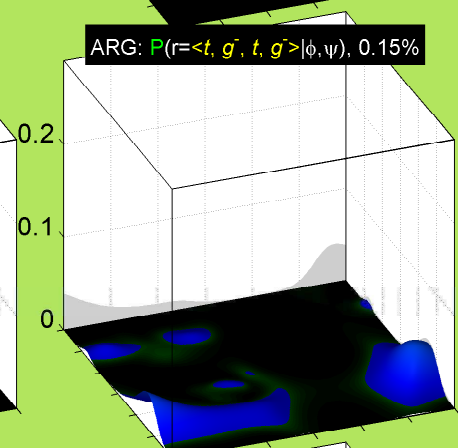
ARG: $P(r=< t, g^-, t, g^+ > | \phi, \psi), 0.07\%$



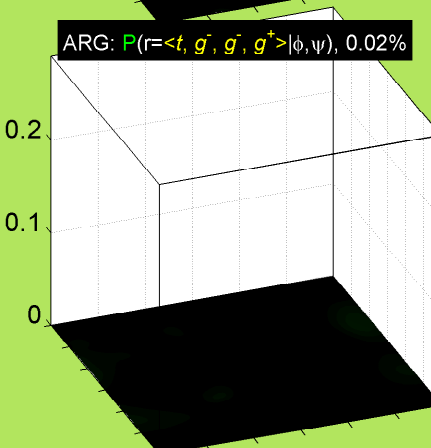
ARG: $P(r=< t, g^-, t, t, g^+ > | \phi, \psi), 0.28\%$



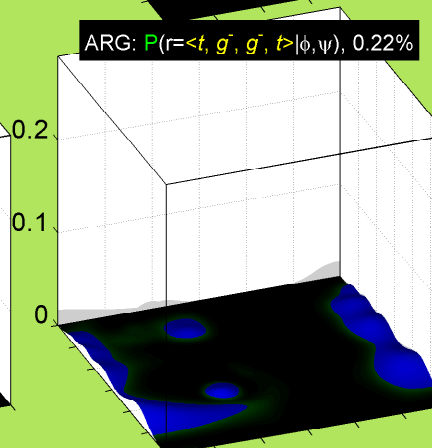
ARG: $P(r=< t, g^-, t, g^- > | \phi, \psi), 0.15\%$



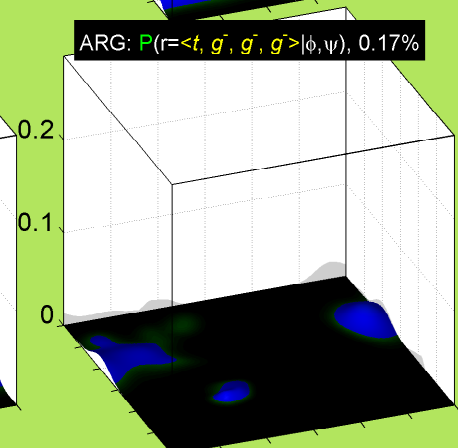
ARG: $P(r=< t, g^-, g^-, g^+ > | \phi, \psi), 0.02\%$



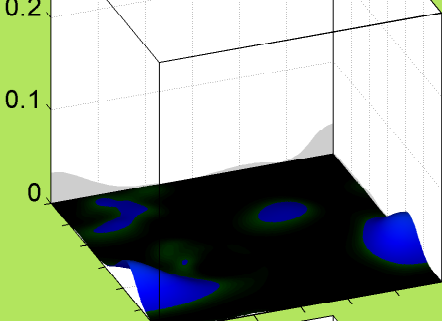
ARG: $P(r=< t, g^-, g^-, t, g^+ > | \phi, \psi), 0.22\%$



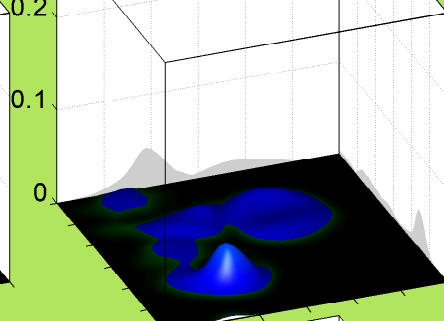
ARG: $P(r=< t, g^-, g^-, g^- > | \phi, \psi), 0.17\%$



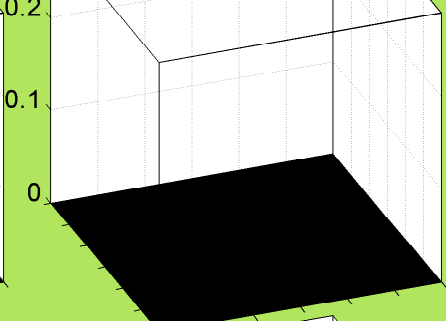
ARG: $P(r=<g^-, g^+, g^+, g^+>|\phi, \psi), 0.11\%$



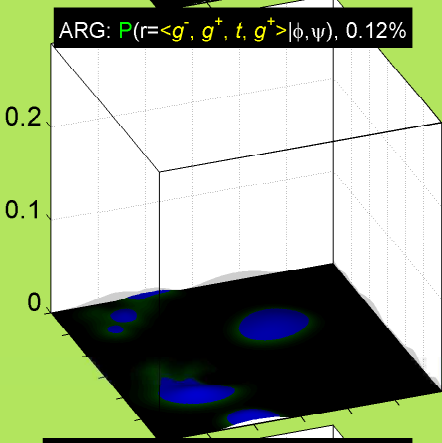
ARG: $P(r=<g^-, g^+, g^+, t>|\phi, \psi), 0.17\%$



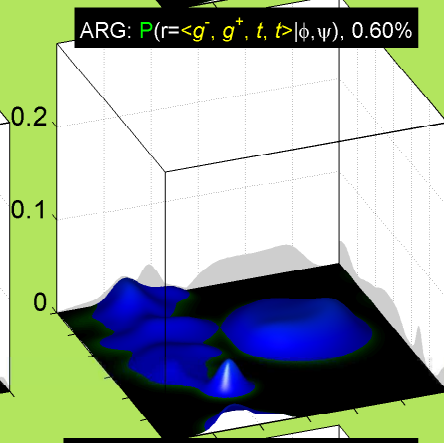
ARG: $P(r=<g^-, g^+, g^+, g^->|\phi, \psi), 0.00\%$



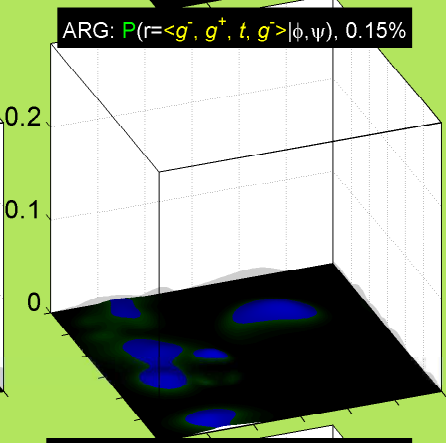
ARG: $P(r=<g^-, g^+, t, g^+>|\phi, \psi), 0.12\%$



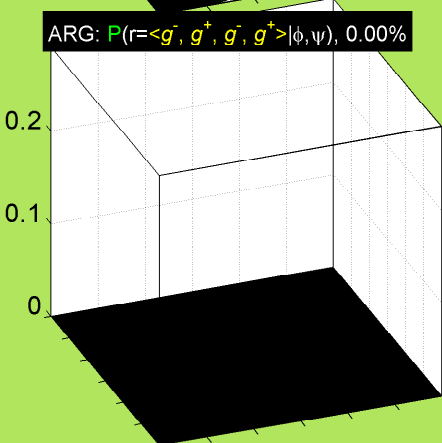
ARG: $P(r=<g^-, g^+, t, t>|\phi, \psi), 0.60\%$



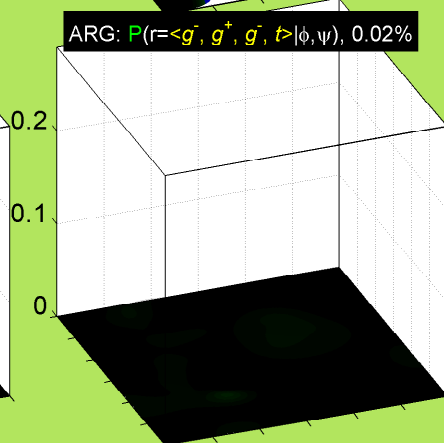
ARG: $P(r=<g^-, g^+, t, g^->|\phi, \psi), 0.15\%$



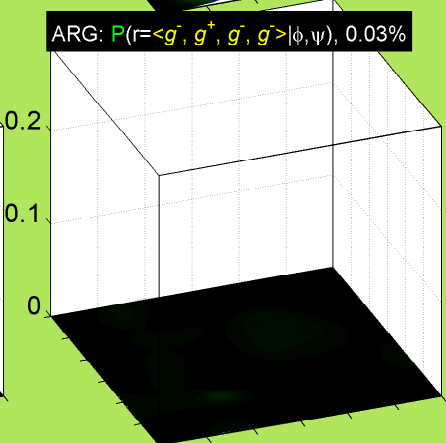
ARG: $P(r=<g^-, g^+, g^-, g^+>|\phi, \psi), 0.00\%$



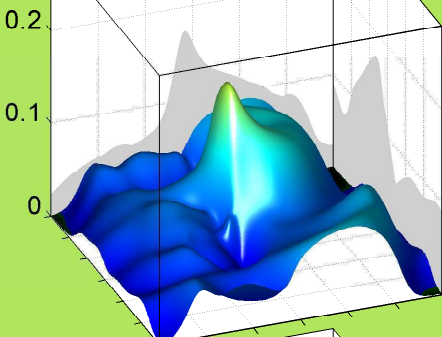
ARG: $P(r=<g^-, g^+, g^-, t>|\phi, \psi), 0.02\%$



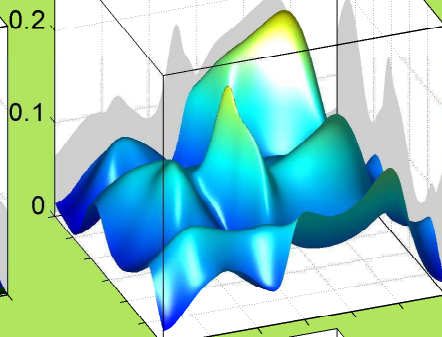
ARG: $P(r=<g^-, g^+, g^-, g^->|\phi, \psi), 0.03\%$



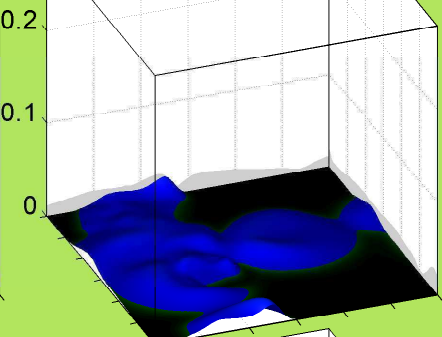
ARG: $P(r=<g^-, t, g^+, g^+>|\phi, \psi)$, 3.90%



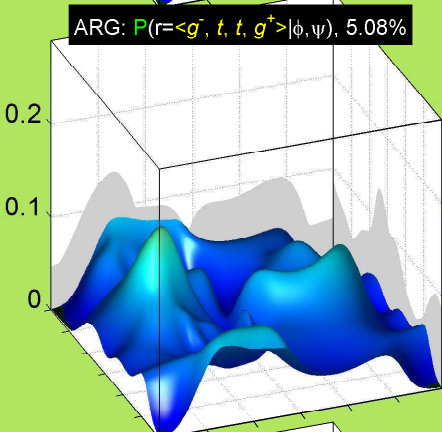
ARG: $P(r=<g^-, t, g^+, t>|\phi, \psi)$, 5.87%



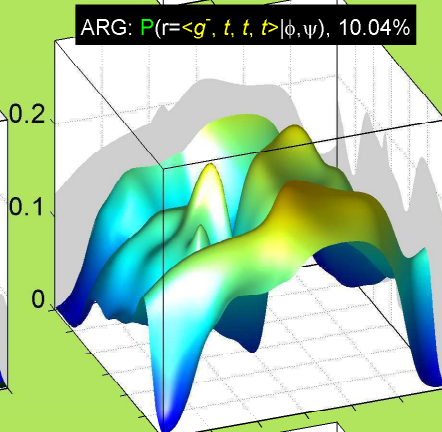
ARG: $P(r=<g^-, t, g^+, g^>|\phi, \psi)$, 0.87%



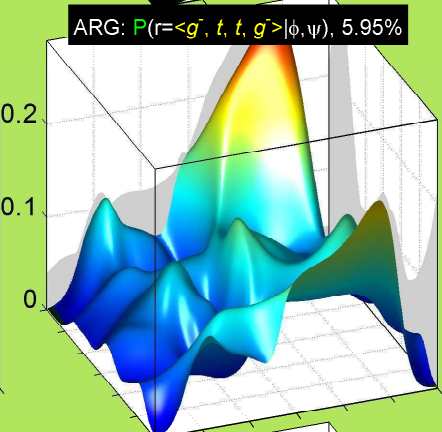
ARG: $P(r=<g^-, t, t, g^+>|\phi, \psi)$, 5.08%



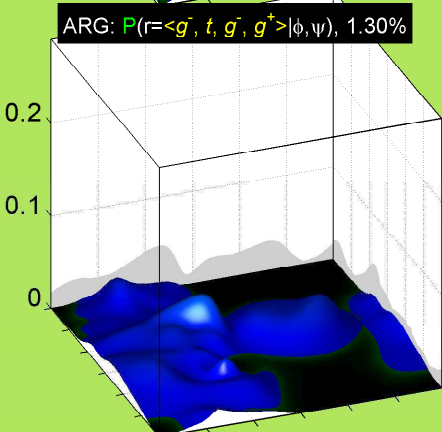
ARG: $P(r=<g^-, t, t, t>|\phi, \psi)$, 10.04%



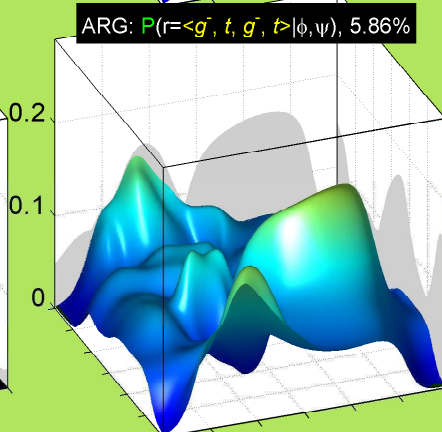
ARG: $P(r=<g^-, t, t, g^->|\phi, \psi)$, 5.95%



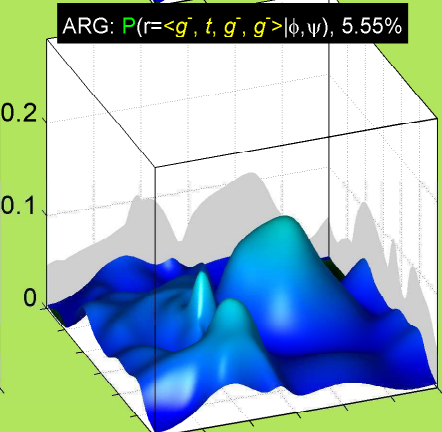
ARG: $P(r=<g^-, t, g^-, g^+>|\phi, \psi)$, 1.30%



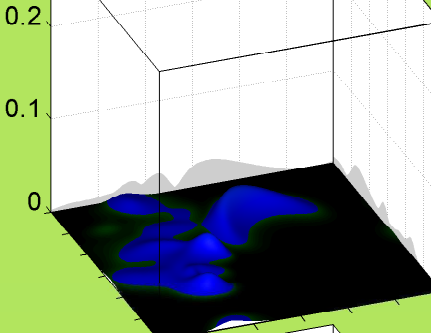
ARG: $P(r=<g^-, t, g^-, t>|\phi, \psi)$, 5.86%



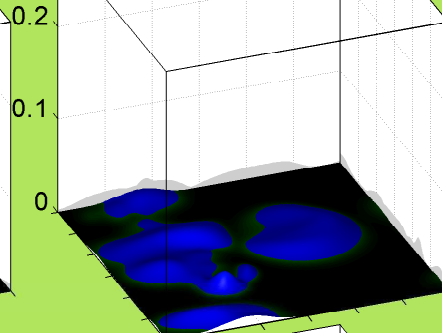
ARG: $P(r=<g^-, t, g^-, g^->|\phi, \psi)$, 5.55%



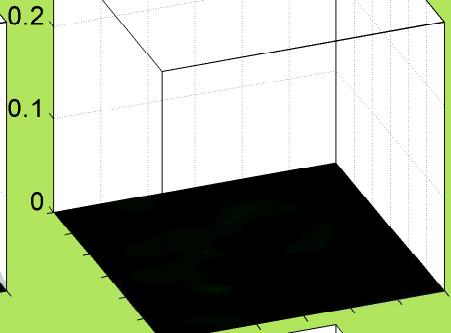
ARG: $P(r=<g^-, g^-, g^+, g^+>|\phi, \psi), 0.42\%$



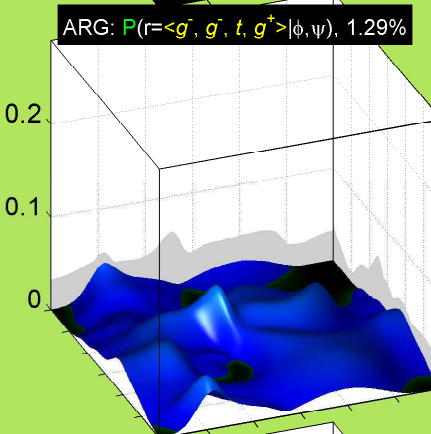
ARG: $P(r=<g^-, g^-, g^+, t, g^+>|\phi, \psi), 0.36\%$



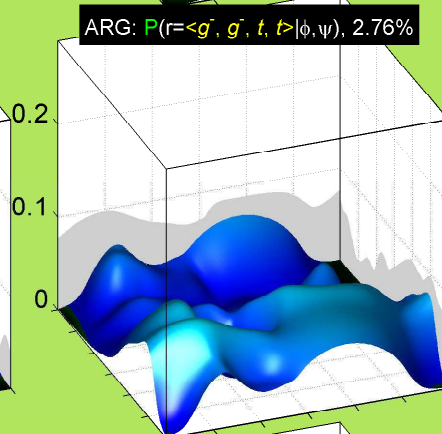
ARG: $P(r=<g^-, g^-, g^+, g^->|\phi, \psi), 0.03\%$



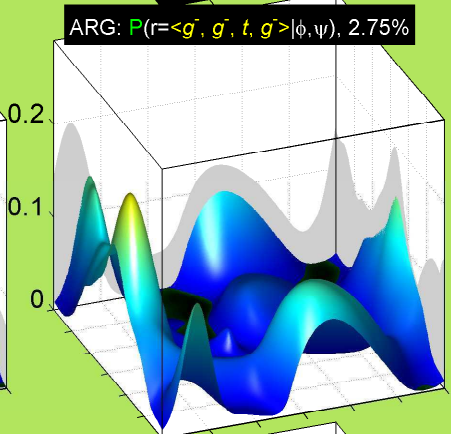
ARG: $P(r=<g^-, g^-, t, g^+>|\phi, \psi), 1.29\%$



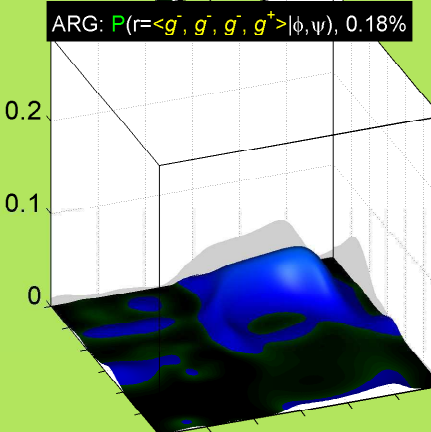
ARG: $P(r=<g^-, g^-, t, t>|\phi, \psi), 2.76\%$



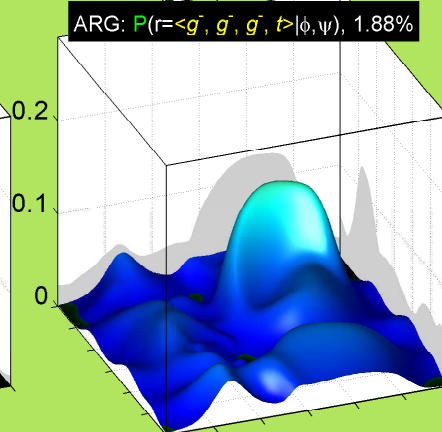
ARG: $P(r=<g^-, g^-, t, g^>|\phi, \psi), 2.75\%$



ARG: $P(r=<g^-, g^-, g^+, g^+>|\phi, \psi), 0.18\%$



ARG: $P(r=<g^-, g^-, g^+, t>|\phi, \psi), 1.88\%$



ARG: $P(r=<g^-, g^-, g^-, g^>|\phi, \psi), 2.18\%$

